

Meilleure note :

Moyenne :

Écart-type :

## Première partie

Écoulement d'un fluide visqueux  
autour d'une sphère

I - Préliminaires

1)  $\vec{v}(M, t) = v(y, t) \vec{e}_x$

$$\vec{F}_{ns} = -\eta \frac{\partial v}{\partial y} \vec{e}_x \cdot S$$

2)  $\Sigma_1 =$  particule  $P_2$

En  $y$   $\vec{F}_{ns}(y) = -\eta \frac{\partial v(y)}{\partial y} S \vec{e}_x$

En  $y+dy$   $\vec{F}_{ns}(y+dy) = +\eta \frac{\partial v(y+dy)}{\partial y} S \vec{e}_x$

$$\vec{F}_{ns \text{ tot}} = \eta \frac{\partial^2 v}{\partial y^2} (y) \underbrace{dy S}_{dV} \vec{e}_x$$

$$\vec{f}_r = \eta \frac{\partial^2 v}{\partial y^2} \vec{e}_x$$

$$\vec{f}_{vis} = \eta \Delta \vec{u}$$

3)  $\Sigma_2 =$  particule de fluide  
Réf terrestre galiléen  
Bords des faces

faces pressantes  $\vec{f}_p = -\text{grad } P$

faces de cisaillement  $\vec{f}_{vis} = \eta \Delta \vec{u}$

Loi de la quantité de mouvement

$$\mu \frac{D\vec{v}}{Dt} = -\vec{grad} P + \eta \Delta \vec{v}$$

## II - Écoulement autour d'une sphère

1) On veut  $D_0 = \mu^\alpha \eta^\beta v_0^\gamma$

avec  $[\mu] = \text{ML}^{-3}$

$$[v_0] = \text{LT}^{-1}$$

$$[\eta] = \frac{[\text{force}]}{L[\text{ntense}]} = \frac{\text{MLT}^{-2}}{\text{L}^2\text{T}^{-1}} = \text{ML}^{-1}\text{T}^{-1}$$

D'où

$$\begin{aligned} 0 &= \alpha + \beta \\ 1 &= -3\alpha - \beta + \gamma \\ 0 &= -\beta - \gamma \end{aligned}$$

$$\Rightarrow \begin{aligned} \beta &= -\alpha \\ \gamma &= -\beta = +\alpha \end{aligned}$$

$$1 = -3\alpha + \alpha + \alpha = -\alpha$$

$$\alpha = -1; \quad \gamma = -1; \quad \beta = 1.$$

$$D_0 = \frac{\eta}{\mu v_0}$$

2) On a  $Re = \frac{\mu L U}{\eta}$

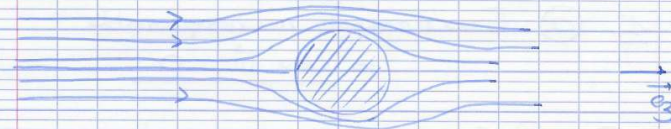
$$= \mu \frac{D v_0}{\eta}$$

$$Re = \frac{D}{D_0}$$

3)  $Re_1 = 7,2 \cdot 10^3$  pour  $R = 0,50 \text{ cm}$ .  
Écoulement turbulent.

$Re_2 = 7,2 \cdot 10^{-1}$  pour  $R = 0,50 \mu\text{m}$ .

L'écoulement est laminaire



4) Situation inverse par rotation autour de l'axe  $Oz \Rightarrow \vec{F}$  selon  $\vec{e}_z$

5)  $C_x = \frac{F}{\frac{1}{2} \rho v_0^2 \pi R^2}$

$$[C_x] = \frac{[\text{force}]}{\text{ML}^{-3} \text{L}^2 \text{T}^{-2} \text{L}^2} = \frac{\text{MLT}^{-2}}{\text{ML}^1 \text{T}^{-2}} = 1$$

$C_x$  est sans dimension.

$C_x$  ne dépend que d'un nombre sans dimension  $Re$ .



6) Pour  $Re < 1$   $C_x$  décroît linéairement avec  $Re$  (pente -1 en échelle log-log)

Pour  $Re \in [700 - 3 \cdot 10^5]$   $C_x$  ne dépend pas de  $Re$   $C_x = 0,1$ .

7) On a  $\vec{F} = 0,4 \times \frac{1}{2} \rho \pi R^2 V_0^2 \vec{e}_3$

$\vec{F} = 0,2 \rho \pi R^2 V_0^2 \vec{e}_3$  forme quadratique.

### III Établissement de la formule de Stokes

1. a) Écoulement incompressible  
 $\Rightarrow \text{div } \vec{v} = 0$

b) Présence de la sphère fixe ds le référentiel d'étude  
 $\vec{v}(R, \theta, \varphi) = \vec{0}$   
Condition d'adhérence

c) Dans les régions éloignées  
 $\lim_{r \rightarrow +\infty} \vec{v}(r, \theta, \varphi) = V_0 \vec{e}_3$

d)  $\vec{0} = -\text{grad } P + \eta \Delta \vec{v}$

$$\begin{aligned} 2) \text{ a) } \text{div } \vec{v} &= \frac{1}{r^2} \frac{\partial}{\partial r} (r^2 v_r) + \frac{1}{r \sin \theta} \frac{\partial}{\partial \theta} (v_\theta \sin \theta) \\ &= \frac{1}{r^2} \frac{\partial}{\partial r} \left( V_0 \cos \theta \left( r^2 - \frac{3}{2} R r + \frac{R^3}{2r} \right) \right) \\ &= \frac{1}{r \sin \theta} \frac{\partial}{\partial \theta} \left( V_0 \sin^2 \theta \left( 1 - \frac{3R}{4r} - \frac{R^3}{4r^3} \right) \right) \\ &= V_0 \cos \theta \left[ \frac{2}{r} - \frac{3R}{2r^2} + \frac{R^3}{2r^4} - \frac{2}{r} + \frac{3R}{2r^2} + \frac{R^3}{2r^4} \right] = 0 \quad \text{OK.} \end{aligned}$$

b) Sur la sphère  $\vec{v}(R, \theta, \varphi) = \dots = \vec{0}$  OK.

c)  $\lim_{r \rightarrow +\infty} \vec{v}(r, \theta, \varphi) = V_0 \cos \theta \vec{e}_r - V_0 \sin \theta \vec{e}_\theta$   
 $= V_0 \vec{e}_3$  OK.

3)  $\text{rot } \vec{v} \neq \vec{0}$  car  $\text{rot } \text{rot } \vec{v} \neq \vec{0}$

Rotationnel  
Laminaire  
Stokesienne

4) On a  $\text{grad } P = \eta \Delta \vec{v}$   
 $= -\eta \text{rot } \text{rot } \vec{v}$

$$\text{grad } P = + \frac{3V_0 R}{2r^3} \eta \left( 2 \cos \theta \vec{e}_r + \sin \theta \vec{e}_\theta \right)$$

Soit  $\vec{e}_r$  :  $\frac{\partial P}{\partial r} = \eta \frac{3V_0 R}{2r^3} 2 \cos \theta$



$$P(r, \theta) = -\frac{3}{2} \eta \frac{V_0 R}{r^2} \cos \theta + f(\theta)$$

Selon  $\vec{e}_\theta$  :  $\frac{1}{r} \frac{\partial P}{\partial \theta} = 3 \eta \frac{V_0 R}{2 r^3} \sin \theta$

$$\frac{\partial P}{\partial \theta} = \frac{3}{2} \eta \frac{V_0 R}{r^2} \sin \theta$$

$$P(r, \theta) = -\frac{3}{2} \eta \frac{V_0 R}{r^2} \cos \theta + A$$

lim  $r \rightarrow +\infty$   $P(r, \theta) = P_0 = A$

$$P(r, \theta) = -\frac{3}{2} \eta \frac{V_0 R}{r^2} \cos \theta + P_0$$

S  $\vec{F}_p = \oint -P d\vec{S} = \underbrace{\oint P_0 d\vec{S}}_{=0} + \oint -\frac{3}{2} \eta \frac{R V_0}{r^2} d\vec{S}$

$$= \int_{\theta=0}^{2\pi} \int_{\varphi=0}^{\pi} + \frac{3}{2} \eta \frac{R V_0}{r^2} \cos \theta r d\theta r \sin \theta d\varphi \vec{e}_r$$

$$\vec{F}_{p3} = \vec{F}_p \cdot \vec{e}_3$$

$$= \frac{3}{2} \eta \frac{R V_0}{R^2} R^2 \int_{\theta=0}^{\pi} \int_{\varphi=0}^{2\pi} \cos \theta \sin \theta d\theta d\varphi$$

$$= 3\pi \eta R V_0 \frac{2}{3} = 2\pi \eta R V_0$$

$$\vec{F}_p = 2\pi \eta R V_0 \vec{e}_3$$

15

6.  $d\vec{F}_{\omega} = -3 \eta \frac{V_0 R \sin^2 \theta}{2} d\theta d\varphi \vec{e}_\theta$

$$S = R^2 \sin \theta d\theta d\varphi$$

$$\sigma_\theta(R, \theta, \varphi) = -V_0 \sin \theta \left( 1 - \frac{3R}{4r} - \frac{R^3}{4r^3} \right)$$

$$\frac{\partial \sigma_\theta}{\partial r}(R, \theta, \varphi) = -V_0 \sin \theta \left( +\frac{3}{4R} + \frac{3}{4R} \right) = -V_0 \sin \theta \frac{3}{2R}$$

$$d\vec{F}_{\omega} = \eta \frac{\partial \sigma_\theta}{\partial r}(R, \theta, \varphi) S \vec{e}_\theta \quad \text{ok.}$$

7.  $\vec{F}_{\omega} = \oint d\vec{F}_{\omega}$

$$= -\frac{3}{2} \eta V_0 R \int_0^{\pi} \int_0^{2\pi} \sin^2 \theta d\theta d\varphi \vec{e}_\theta$$

$$\vec{F}_{\omega} \cdot \vec{e}_3 = \frac{3}{2} \eta V_0 R 2\pi \int_0^{\pi} \sin^3 \theta d\theta = 2\eta V_0 R 2\pi$$

$$\vec{F}_{\omega} = 4\pi \eta R V_0 \vec{e}_3$$

7.  $\vec{F} = \vec{F}_p + \vec{F}_{\omega}$

$$\vec{F} = 6\pi \eta R V_0 \vec{e}_3 \quad \text{Stokes}$$

Annexe 1. Densité de pente = 1.

$$\log C_x = -\log R_0 + \text{cte}$$

Pour  $C_x = 95$   $R_0 = 50 \rightarrow \text{cte} = 1/4$



$$C_x = \frac{25}{Re} \quad (\text{ou } 24)$$

$$\text{Soit } F = \frac{1}{2} C_x \rho V_0^2 \pi R^2$$

$$\text{et } C_x = \frac{25}{Re} = \frac{25}{2R V_0 \rho}$$

$$F = \frac{25}{4} \frac{\rho V_0^2 \pi R^2}{R V_0 \rho} ?$$

$$= \frac{25}{4} \rho \pi R V_0$$

$$\approx 6 \pi \eta R V_0 \quad \text{ok.}$$

8. Chute libre d'une sphère de rayon  $R = 0,5 \text{ mm}$

Bilan des forces

- la poids  $\vec{P} = m \vec{g} = \rho V \vec{g}$

- la poussée d'Archimède  $\vec{\Pi}_A = -\rho' V \vec{g}$

- la force de traînée

$$\vec{F} = -6 \pi \eta' R \vec{v} \quad \text{pour } Re \ll 1$$

Loi de la quantité de mouvement

$$m \frac{d\vec{v}}{dt} = \vec{F} + \vec{P} + \vec{\Pi}_A$$

Selon  $\vec{e}_3$

$$m \frac{dv}{dt} = -6 \pi \eta' R v + (\rho V - \rho' V) g$$

$\vec{e}_3 \downarrow$

$$\frac{dv}{dt} + \frac{6 \pi \eta' R}{\rho \frac{4}{3} \pi R^3} v = \left(1 - \frac{\rho'}{\rho}\right) g$$

$$\tau = \frac{2 \rho R^2}{9 \eta'} \quad v_{\text{lim}} = \tau \left(1 - \frac{\rho'}{\rho}\right) g$$

On veut  $Re \ll 1$

$$\text{Soit } \frac{\rho' 2R v_{\text{lim}}}{\eta'} < 1$$

$$\frac{\rho' 2R}{\eta'} \frac{2 \rho R^2}{9 \eta'} \left(1 - \frac{\rho'}{\rho}\right) g < 1$$

$$R < \sqrt[3]{\frac{9 \eta'^2}{4 \rho' (\rho - \rho') g}}$$

$$R < 5,4 \text{ mm}$$

Deuxième partie

A memristor is a pipe whose diameter varies

Extrait de Mines-Ponts 2017 Physique 1 PC

A. Modélisation d'un écoulement

1. On reconnaît un écoulement de Poiseuille.

- L'écoulement est **stationnaire** donc  $\vec{v}$  ne dépend pas du temps  $t$ ,
- Le système est **invariant par toute rotation** autour de l'axe des  $z$  (les effets de la pesanteur sont négligeables) donc  $\vec{v}$  ne dépend pas de  $\theta$ .

— L'écoulement se fait selon le tuyau donc selon  $\vec{e}_z$

Le champ des vitesses est de la forme :  $\vec{v} = v(r, z)\vec{e}_z$

2. Équation locale de conservation de la masse :

$$\frac{\partial \mu}{\partial t} + \operatorname{div} \mu \vec{v} = 0$$

On a un écoulement stationnaire homogène et incompressible, il vient  $\operatorname{div} \vec{v} = 0$ , soit  $\frac{\partial v}{\partial z} = 0$ .  $v$  ne dépend pas de  $z$ . On a donc  $\vec{v} = v(r)\vec{e}_z$

3. D'après l'équation de Navier Stokes :

$$\mu \left( \frac{\partial \vec{v}}{\partial t} + \vec{v} \cdot \overrightarrow{\operatorname{grad}}(\vec{v}) \right) = -\overrightarrow{\operatorname{grad}} P + \eta \Delta \vec{v}$$

L'accélération locale est nulle :  $\frac{\partial \vec{v}}{\partial t} = \vec{0}$ .

L'accélération convective est également nulle :  $(\vec{v} \cdot \overrightarrow{\operatorname{grad}}) \vec{v} = \left( v \cdot \frac{\partial}{\partial z} \right) \vec{v} = \vec{0}$

L'équation de Navier-Stokes s'écrit (c.f. formulaire pour l'expression des opérateurs en cylindrique) :

$$\begin{aligned} \rho \frac{D\vec{v}}{Dt} &= -\overrightarrow{\operatorname{grad}}(P) + \eta \Delta \vec{v} \\ \vec{0} &= -\overrightarrow{\operatorname{grad}}(P) + \eta \Delta \vec{v} \\ &= -\overrightarrow{\operatorname{grad}}(P) + \eta \left( \frac{d^2 v}{dr^2} + \frac{1}{r} \frac{dv}{dr} \right) \vec{u}_z \\ &= -\frac{\partial P}{\partial r} \vec{u}_r - \frac{\partial P}{\partial z} \vec{u}_z + \eta \frac{1}{r} \frac{d}{dr} \left( r \frac{dv(r)}{dr} \right) \vec{u}_z \end{aligned}$$

D'où 
$$\begin{cases} 0 = -\frac{\partial P}{\partial r} \\ 0 = -\frac{\partial P}{\partial z} + \frac{\eta}{r} \frac{d}{dr} \left( r \frac{dv(r)}{dr} \right) \end{cases}$$

De la première équation on déduit que  $P$  ne dépend pas de  $r$  :  $P(r, z) = P(z)$ .

La deuxième équation devient donc :

$$\frac{dP}{dz} = \frac{\eta}{r} \frac{d}{dr} \left( r \frac{dv(r)}{dr} \right)$$

Le premier membre de l'égalité ne dépend que de  $z$  et le second membre ne dépend que de  $r$ . Les variables  $r$  et  $z$  étant séparées, ces deux termes sont égaux à une même constante  $K$ . On a donc

$$\frac{dP}{dz} = K$$

$P(z) = Kz + K'$  avec les conditions aux limites  $P(0) = P_e$  et  $P(\ell) = P_s$ .

$$P(z) = \frac{P_s - P_e}{\ell} z + P_e$$

Et on a bien

$$\frac{\eta}{r} \left[ \frac{d}{dr} \left( r \frac{dv(r)}{dr} \right) \right] = K$$

avec

$$K = \frac{P_s - P_e}{\ell}$$

4. On a  $\frac{d}{dr} \left( r \frac{dv(r)}{dr} \right) = \frac{K}{\eta} r$ .

Soit  $r \frac{dv(r)}{dr} = \frac{K}{2\eta} r^2 + K_1$

$$\frac{dv(r)}{r} = \frac{K}{2\eta} r + \frac{K_1}{r}$$

Or  $v(r)$  ne peut diverger en  $r = 0$  donc  $K_1 = 0$ . Par conséquent :

$$\begin{aligned} \frac{dv(r)}{r} &= \frac{K}{2\eta} r \\ v(r) &= \frac{K}{4\eta} r^2 + K_2 \quad \text{avec la C.L. } v(a) = 0 \\ K_2 &= -\frac{K}{4\eta} a^2 \end{aligned}$$

Finalement :

$$v(r) = \frac{P_e - P_s}{4\eta \ell} \cdot (a^2 - r^2) = \frac{-K}{4\eta} (a^2 - r^2)$$

On obtient un profil de vitesse parabolique.

La vitesse est positive si  $K$  est négatif, ce qui est le cas.

5. Le débit volumique du fluide qui traverse le tuyau correspond au flux de la vitesse à travers une section. Il s'écrit :

$$\begin{aligned} D_{vol} &= \iint \vec{v}(r) \cdot d\vec{S} \text{ avec } d\vec{S} = dr \cdot r d\theta \vec{e}_z \\ &= \int_0^a v(r) \cdot 2\pi r \cdot dr \\ &= \frac{P_e - P_s}{4\eta\ell} \cdot 2\pi \int_0^a (ra^2 - r^3) dr \\ &= \frac{P_e - P_s}{2\eta\ell} \cdot \pi \cdot \left[ \frac{r^2 a^2}{2} - \frac{r^4}{4} \right]_0^a \end{aligned}$$

Soit

$$D_{vol} = \frac{\pi a^4}{8\eta\ell} (P_e - P_s) = -\frac{K\pi a^4}{8\eta}$$

6. La vitesse est maximale pour  $r = 0$ . On a  $v(0) = -\frac{Ka^2}{4\eta} = v_0$  avec  $-\frac{K}{\eta} = \frac{8D_{vol}}{\pi a^4}$ . On obtient :

$$v_0 = \frac{2D_{vol}}{\pi a^2}$$

7. Par définition le nombre de Reynolds est le rapport entre l'accélération convective multipliée par la masse volumique du fluide et l'équivalent volumique des forces de viscosité.

On a  $Re = \frac{\rho UL}{\eta}$  avec  $L = 2a$  et  $U = \frac{D_{vol}}{\pi a^2}$ . On en déduit

$$Re = \frac{2\rho D_{vol}}{\pi\eta a}$$

## B. Résistance hydraulique

8. La loi de Poiseuille montre que le débit volumique varie linéairement en fonction de la différence de pression amont-aval. Cette loi est donc analogue à la loi d'Ohm. On obtient une loi analogue en introduisant la notion de résistance

thermique en **diffusion thermique**.

$V$	$P$	$T$
$I$	$D_{vol}$	$\Phi$
$V_2 - V_1 = RI$	$P_2 - P_1 = R_{hyd} D_{vol}$	$T_2 - T_1 = R_{th} \Phi$

9. L'expression précédente du débit volumique s'écrit en introduisant la résistance hydraulique :

$$\begin{aligned} D_{vol} &= \frac{\pi a^4}{8\eta\ell} (P_e - P_s) \\ &= \frac{1}{R_{hyd}} \cdot (P_e - P_s) \end{aligned}$$

Soit

$$R_{hyd} = \frac{8\eta\ell}{\pi a^4}$$

## Troisième partie

# Débitmètres pour eaux usées

Extrait de Centrale Supélec PC 2015

### A. Déversoir à seuil mince en canal ouvert

1. (a) Le débit volumique étant le même en amont de la pelle et à l'abscisse de la pelle, on a

$$v_1 h = \int_H^h v_2(z) dz < v_{2,max}(H - h)$$

On en déduit que

$$v_{2,max} > \frac{h}{H - h} v_1 \text{ or } H - h \ll h \text{ donc } \gg v_1$$

- (b) En supposant l'écoulement irrotationnel et stationnaire, l'équation d'Euler se réduit à

$$\rho \left( \frac{1}{2} \overrightarrow{\text{grad}} v^2 \right) = - \overrightarrow{\text{grad}} (P + \rho g z)$$

La somme  $P + \frac{1}{2} \rho v^2 + \rho g z$  est donc uniforme; en écrivant sa valeur aux points  $M_1$  et  $M_2$ , on obtient

$$P_0 + \frac{1}{2} \rho v_1^2 + \rho g(h - H) = P_0 + \frac{1}{2} \rho v_2^2(z) + \rho g z$$

soit

$$v_2^2 = v_1^2 + 2g(h - z)$$

ce qui conduit à

$$v_2 = \sqrt{2g(h - z)}$$

en négligeant  $v_1^2$ ; notons que ce résultat n'est manifestement pas correct pour  $z \simeq h$ .

2. Le débit volumique est le flux de  $\vec{v}_2$  à travers la section de fluide au-dessus de la pelle, soit

$$\begin{aligned} Q &= \int_0^{h-H} \sqrt{2g(h-z)} B dz \\ &= B \sqrt{2g} \int_0^{h-H} u^{1/2} du \\ &= B \sqrt{2g} \frac{2}{3} [u^{3/2}]_0^{h-H} \\ &= \frac{2}{3} B \sqrt{2g} (h-H)^{3/2} \end{aligned}$$

On obtient le résultat de l'énoncé en posant

$$A = \frac{2}{3} B \sqrt{2g}$$

3. L'onde parcourt la distance  $2(h_s - h)$ ; la durée  $\Delta t$  d'un aller-retour est donc telle que

$$2(h_s - h) = c \Delta t \text{ soit } h = h_s - \frac{c \Delta t}{2}$$

La célérité du son dépendant de la température, il faut connaître  $T$  pour déterminer  $h$ .

### B. Jaugeur Venturi en canal ouvert

1. (a) Nous avons montré que, pour un écoulement irrotationnel et stationnaire, la somme  $P + \frac{1}{2} \rho v^2 + \rho g z$  est uniforme; soit  $P_1$  sa valeur. En un point de la surface libre, la pression est  $P_0$  et  $z = h(x)$ , donc

$$P_1 = P_0 + \frac{1}{2} \rho v^2(x) + \rho g h(x) = P_0 + \rho g H(x)$$

On en déduit que

$$H(x) = \frac{P_1 - P_0}{2g}$$

La charge spécifique est donc uniforme.

- (b) Le débit a pour expression

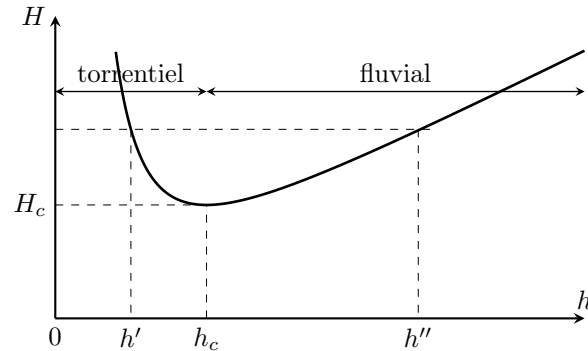
$$Q = v(x) h(x) B$$



On en déduit l'expression de la charge :

$$H = h(x) + \frac{Q^2}{2gBh^2(x)}$$

Pour une valeur donnée de  $Q$ , la variation de la charge en fonction de la hauteur est représentée par la courbe ci-dessous



- (c) La valeur  $h_c$  de  $h$  séparant le régime torrentiel du régime fluvial est celle qui annule la dérivée  $\frac{dH}{dh}$ , soit

$$h_c = \left( \frac{Q^2}{gB^2} \right)^{1/3}$$

La vitesse correspondante est

$$v_c = \frac{Q}{Bh_c} = \left( \frac{gQ}{B} \right)^{1/3}$$

La charge spécifique correspondante est

$$H_c = h_c + \frac{v_c^2}{2g} = h_c + \frac{1}{2} \left( \frac{Q^2}{gB^2} \right)^{1/3} = \frac{3}{2} h_c$$

Au voisinage du régime critique, la dérivée  $\frac{dH}{dh}$  est, en valeur absolue, très petite devant l'unité; il en résulte que  $\left| \frac{dh}{dH} \right| \gg 1$ . Ainsi, une petite variation de la charge provoque une grande variation de la hauteur de la surface libre.

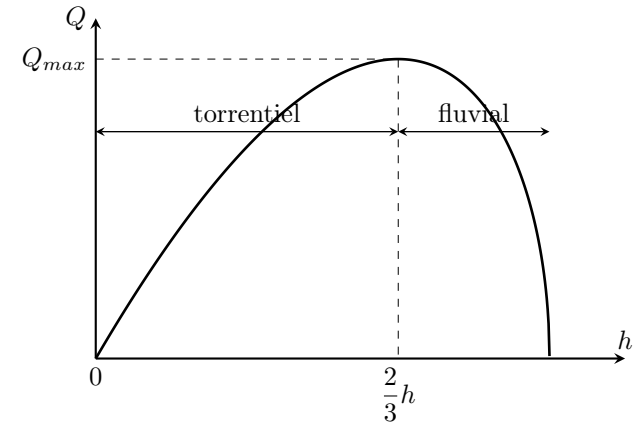
- (d) Le débit est

$$Q = Bhv \text{ avec } v = \sqrt{2g(H-h)}$$

soit

$$Q = Bhv\sqrt{2g(H-h)}$$

L'allure de la courbe est la suivante

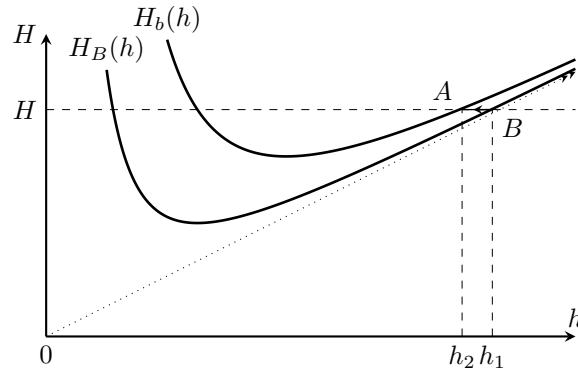


Le débit est maximal pour  $\frac{dQ}{dh} = 0$  soit pour  $h = \frac{2}{3}H$ ; on retrouve le même rapport  $\frac{h}{H}$  que dans le régime critique étudié à la question précédente. Le régime torrentiel correspond à  $h < \frac{2}{3}H$  et le régime fluvial correspond à  $h > \frac{2}{3}H$ .

2. (a) Le canal d'approche permet d'avoir un écoulement en régime fluvial et parfaitement calibré en amont du canal de mesure.  
 (b) Le débit volumique est le flux de la vitesse à travers une section du canal, soit

$$Q = Bv_1h_1 = bv_2(x)h_2(x)$$

- (c) *cas du jaugeur noyé* —



$h_1$  est la solution de l'équation  $H_B(h) = Q$  dans le domaine fluvial et  $h_2$  est la solution de l'équation  $H_b(h) = Q$  dans le domaine fluvial.

Dans le convergent, la transformation est représentée par le segment  $AB$  où  $A$  a pour coordonnées  $(h_1, H)$  et  $B$  a pour coordonnées  $(h_2, H)$ .

Dans ce cas, on a  $h_2 - h_1 < 0$ ; la conservation de la charge s'écrit

$$h_1 + \frac{v_1^2}{2g} = h_2 + \frac{v_2^2}{2g} \text{ soit } v_2^2 - v_1^2 = 2g(h_1 - h_2)$$

On en déduit que  $v_2 > v_1$ ; dans l'approximation  $v_2 \gg v_1$ , la vitesse  $v_2$  est

$$v_2 = \sqrt{2g(h_1 - h_2)}$$

On en déduit le débit volumique

$$Q = bh_2v_2 = bh_2\sqrt{2g(h_1 - h_2)}$$

- (d) *cas du jaugeur dénoyé* — Il y a passage au régime critique dans le canal de mesure; la charge y est donc égale à

$$H_c = \frac{3}{2} \left( \frac{Q^2}{gb^2} \right)^{1/3}$$

La charge en amont est

$$h_1 + \frac{v_1^2}{2g} \simeq h_1$$

En supposant qu'il y a conservation de la charge dans le convergent, on en déduit que

$$h_1 = \frac{3}{2} \left( \frac{Q^2}{gb^2} \right)^{1/3}$$

soit

$$Q = b\sqrt{\frac{8}{27}gh_1^3}$$

Numériquement, on vérifie que

$$\sqrt{\frac{8}{27}} \simeq 0,544$$

ce qui conduit à un résultat en accord avec l'énoncé. Pour  $h_1 = 50$  cm et  $Q = 1000$  m<sup>3</sup>.h<sup>-1</sup> = 0,278 m<sup>3</sup>.s<sup>-1</sup>, on obtient  $b = 0,46$  m.

Si  $b$  est trop petit, le nombre de Reynolds n'est plus suffisamment grand pour que les effets de la viscosité restent négligeables.

- (e) Un jaugeur noyé nécessite la mesure de  $h_2 - h_1$ , mesure délicate car les courbes sont très près de leur asymptote. En revanche, un jaugeur dénoyé ne nécessite que la mesure de  $h_1$ .

## Quatrième partie

# Physique du skimboard

Extrait de Centrale-Supélec PC 2011

## I Calcul de la résultante des forces pressantes s'exerçant sur la planche

### A. Résultats préliminaires

Q1- Prenons comme système l'eau sous la planche entre l'abscisse  $x$  et l'abscisse  $x_T$ . Les échanges de ce système ouvert avec l'extérieur s'effectuent à travers

la surface  $S(x)$  d'abscisse  $x$  et d'aire  $Lh(x)$  et la surface  $S_T$  d'abscisse  $x_T$  et d'aire  $Lh_T$ . Le débit massique entrant par  $S(x)$  est  $+\rho Lh(x)v(x)$  et le débit massique sortant par  $S_T$  est  $\rho Lh_T V$ . L'écoulement étant stationnaire, la masse d'eau entre  $x$  et  $x_T$  est indépendante du temps; on a donc  $\rho Lh(x)v(x) = \rho Lh_T V$  soit

$$h(x)v(x) = h_T V$$

Q2- L'équation locale de conservation de la masse s'écrit de façon générale

$$\frac{\partial \rho}{\partial t} + \operatorname{div}(\rho \vec{v}) = 0$$

soit, puisque  $\rho$  est uniforme et indépendante du temps :

$$\operatorname{div} \vec{v} = 0$$

Soit  $\frac{\partial v_x}{\partial x} + \frac{\partial v_z}{\partial z} = 0$ . En supposant  $\vec{v} = v(x)\vec{u}_x$ , on a  $v'(x) = 0$ , soit à  $v(x) = V$  en intégrant.

Cette relation est en contradiction avec la relation précédente : le paradoxe provient du fait que  $|v_z| \ll |v_x|$  n'implique pas que  $\left| \frac{\partial v_z}{\partial z} \right| \ll \left| \frac{\partial v_x}{\partial x} \right|$ . On peut donc avoir une divergence nulle, même avec un champ des vitesses d'expression approchée  $\vec{v} = v(x)\vec{u}_x$  avec  $v'(x) \neq 0$ .

Q3- Dans le cadre de ce modèle  $\vec{v} = v(x)\vec{u}_x$ , alors  $\operatorname{rot} \vec{v} = \vec{0}$  on peut supposer l'écoulement irrotationnel.

Q4- L'écoulement est permanent, incompressible et irrotationnel et on néglige l'influence de la pesanteur. Le théorème de Bernoulli indique que la grandeur  $p + \frac{1}{2}\rho v^2$  est uniforme dans tout le fluide. On le démontre à partir de l'équation d'Euler qui se réduit, en négligeant les forces de pesanteur :

$$\rho \left( \frac{\partial \vec{v}}{\partial t} + \frac{1}{2} \operatorname{grad} v^2 - \vec{v} \wedge \operatorname{rot} \vec{v} \right) = - \operatorname{grad} p$$

L'écoulement étant irrotationnel et stationnaire, et  $\rho$  étant uniforme, on a

$$\operatorname{grad} \left( p + \frac{1}{2}\rho v^2 \right) = \vec{0}$$

## B. Calcul direct

Q5- Soit  $x$  désignant l'abscisse d'un point situé sur la surface mouillée de la planche, le théorème de Bernoulli nous donne

$$p(x) + \frac{1}{2}\rho v(x)^2 = p_0 + \frac{1}{2}\rho V^2$$

or  $v(x) = V \frac{h_T}{h(x)}$  donc

$$p(x) - p_0 = \frac{1}{2}\rho V^2 \left[ 1 - \frac{h_T^2}{h^2(x)} \right]$$

Q6- Géométriquement, on a  $\tan \alpha = \frac{h(x) - h_T}{x_T - x}$ , soit

$$h(x) = h_T + (x_T - x) \tan \alpha$$

Remarque : l'angle  $\alpha$  est supposé petit :  $\tan \alpha \simeq \alpha$ .

Q7- On suppose que la pression de l'eau au contact de la surface non mouillée de la planche est  $p_0$ . La résultante totale des forces de pression  $\vec{F}$  que les fluides exercent sur la planche possède deux composantes :  $\vec{F} = F_x \vec{u}_x + F_z \vec{u}_z$ . Pour  $x < x_A$ , la pression de l'eau est égale à la pression de l'air. Les forces pressantes se compensent. Pour  $x \in [x_A, x_T]$ , la différence de pression entre l'air sur la face supérieure et l'eau sur la face inférieure crée une force  $F \vec{n}$ , où  $\vec{n} = \sin \alpha \vec{u}_x + \cos \alpha \vec{u}_z$  est le vecteur unitaire normal à la plaque orienté de l'eau vers l'air. On obtient  $F$  par intégration sur la surface mouillée, soit

$$\begin{aligned} F &= \int_{x_A}^{x_T} (p(x) - p_0) L dx \\ &= L \int_{x_A}^{x_T} \frac{1}{2} \rho V^2 \left[ 1 - \frac{h_T^2}{h^2(x)} \right] dx \\ &= \frac{1}{2} \rho V^2 L \int_{x_A}^{x_T} \left[ 1 - \left( \frac{h_T}{h_T + (x_T - x) \tan \alpha} \right)^2 \right] dx \end{aligned}$$

or

$$\begin{aligned} \left( \frac{h_T}{h_T + (x_T - x) \tan \alpha} \right)^2 &= \left( 1 + \tan \alpha \frac{x_T - x}{h_T} \right)^{-2} \\ &\simeq 1 - 2\alpha \frac{x_T - x}{h_T} \end{aligned}$$



soit, en reportant dans l'intégrale précédente

$$\begin{aligned} F &= \frac{1}{2}\rho V^2 L \int_{x_A}^{x_T} 2\alpha \frac{x_T - x}{h_T} dx \\ &= \frac{1}{2}\rho V^2 L \frac{2\alpha}{h_T} \int_{x_A}^{x_T} (x_T - x) dx \\ &= \frac{1}{2}\rho V^2 L \frac{2\alpha}{h_T} \left[ x_T x - \frac{x^2}{2} \right]_{x_A}^{x_T} \\ &= \frac{1}{2}\rho V^2 L \frac{2\alpha}{h_T} \left[ x_T(x_T - x_A) - \frac{x_T^2 - x_A^2}{2} \right] \\ &= \frac{1}{2}\rho V^2 L \frac{\alpha}{h_T} (x_T - x_A)^2 \end{aligned}$$

Dans le cadre des faibles valeurs de l'angle  $\alpha$ , on a

$$(x_T - x_A)^2 \simeq \ell^2$$

et

$$\frac{\alpha}{h_T} \simeq \frac{\sin \alpha}{h_T} = \frac{h_A - h_T}{h_T \ell_m} \simeq \frac{h_A - h_T}{h_A \ell_m}$$

On obtient

$$F = \frac{\rho V^2}{2} L \ell_m \left( 1 - \frac{h_T}{h_A} \right)$$

puis  $F_z = F \cos \alpha \simeq F$  de la forme

$$F_z = \frac{\rho V^2}{2} L \ell_m (1 - \lambda)$$

avec  $\lambda = \frac{h_T}{h_A}$ .

Enfin, on a  $F_x = F \sin \alpha \simeq \frac{\alpha \rho V^2}{2} L \ell_m (1 - \lambda)$

Q8- Soit  $T$  un point situé à l'arrière de la planche. Le moment des forces de pression par rapport à  $T$  est

$$\vec{M} = \int_{x_A}^{x_T} T\vec{M} \wedge d\vec{F}(M)$$

où  $T\vec{M} = -(x_T - x)\vec{u}_x + \tan \alpha (x_T - x)\vec{u}_z$  et  $d\vec{F} = (p(x) - p_0)Ldx\vec{n} = \frac{1}{2}\rho V^2 L \left[ 1 - \frac{h_T^2}{h^2(x)} \right] dx\vec{n}$  est la somme des forces de pressantes s'exerçant sur la bande  $[x, x + dx]$ , soit

$$\begin{aligned} \vec{M} &= \frac{1}{2}\rho V^2 L \int_{x_A}^{x_T} (x - x_T) \left[ 1 - \frac{h_T^2}{h^2(x)} \right] \frac{1}{\cos \alpha} \vec{u}_y \\ &\simeq -\frac{1}{2}\rho V^2 L \int_{x_A}^{x_T} (x - x_T) \left[ 1 - \frac{h_T^2}{h^2(x)} \right] \vec{u}_y \end{aligned}$$

Le moment par rapport à l'axe  $(T; \vec{u}_y)$  est

$$\mathcal{M} = \vec{M} \cdot \vec{u}_y = K \int_{x_A}^{x_T} (x_T - x) \left[ 1 - \frac{h_T^2}{h^2(x)} \right] dx$$

avec

$$K = \frac{1}{2}\rho V^2 L$$

Q9- Pour que le sportif soit à l'équilibre dans  $R$ , il doit se positionner à la distance  $\ell_p$  de l'axe  $(T; \vec{u}_y)$ , de sorte que la somme des moments des efforts sur la planche soit nulle, soit

$$M = \ell_p mg \text{ ce qui détermine } \ell_p = \frac{1}{4mg} \rho V^2 L \ell_m f(\lambda)$$

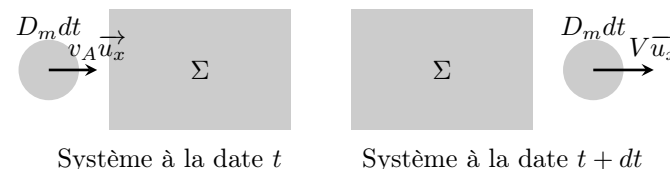
### C. Calcul par un bilan de quantité de mouvement

Q10- En choisissant comme système fermé  $\Sigma$ , l'eau contenue dans le volume situé sous la planche entre les abscisses  $x_A$  et  $x_T$  et celle qui va pénétrer dans ce volume entre les dates  $t$  et  $t + dt$ , on a

$$P_x(\Sigma) = P_0 + D_m dt v_A \quad \text{à la date } t$$

et

$$P_x(\Sigma) = P_0 + D_m dt V \quad \text{à la date } t + dt$$



On en déduit que

$$\left. \frac{dP_x(\Sigma)}{dt} \right|_R = D_m(V - v_A) = \rho L h_T V (V - \lambda V)$$

$$\boxed{\left. \frac{dP_x(\Sigma)}{dt} \right|_R = \rho L h_T V^2 (1 - \lambda)}$$

Q11- On note  $p_A$  la pression en  $x = x_A : p_A = p(x_A)$ .  $\Sigma$  est soumis aux forces horizontales

- $F_A = p_A h_A L$  de la part du fluide d'abscisse inférieure à  $x_A$  ;
- $F_T = -p_0 h_T L$  de la part du fluide d'abscisse supérieure à  $x_T$  ;
- $F'_x$  de la part de la planche.

La force  $\vec{F}$  exercée par les fluides sur la planche est

$$\vec{F} = -\vec{F}' + \vec{F}_{air \rightarrow planche} + \vec{F}_{jet \rightarrow planche}$$

$\vec{F}_{jet \rightarrow planche}$  est compensée par la force exercée par l'air sur l'aire correspondante de la face supérieure de la planche puisque les pressions sont égales à  $p_0$  de part et d'autre. Il reste donc la force exercée par l'air sur la partie mouillée de la planche, soit

$$\vec{F} = -\vec{F}' + p_0 L \ell_m (-\vec{n})$$

En projection sur  $\vec{u}_x$ , on obtient

$$\begin{aligned} F_x &= -F'_x - p_0 L \ell_m \vec{n} \cdot \vec{u}_x \\ &= -F'_x - p_0 L \ell_m \sin \alpha \\ &= -F'_x - p_0 L (h_A - h_T) \end{aligned}$$

La somme des forces horizontales sur  $\Sigma$  est finalement

$$F_A + F_T - F'_x = p_A h_A L - p_0 h_T L - F_x - p_0 L (h_A - h_T)$$

$$\boxed{F_A + F_T - F'_x = h_A L (p_A - p_0) - F_x}$$

Q12- On applique le théorème de la résultante cinétique au système  $\Sigma$  ; en projection sur  $\vec{u}_x$ , on obtient

$$\left. \frac{dP_x(\Sigma)}{dt} \right|_R = h_A L (p_A - p_0) - F_x$$

soit

$$\rho L h_T V^2 (1 - \lambda) = h_A L (p_A - p_0) - F_x$$

or

$$p_A - p_0 = \frac{1}{2} \rho V^2 (1 - \lambda^2)$$

ce qui donne

$$\begin{aligned} F_x &= \frac{1}{2} \rho V^2 L [(1 - \lambda^2) h_A - 2(1 - \lambda) h_T] \\ &= \frac{1}{2} \rho V^2 L h_A [(1 - \lambda^2) - 2\lambda(1 - \lambda)] \\ &= \frac{1}{2} \rho V^2 L h_A (1 - \lambda) [1 + \lambda - 2\lambda] \\ &= \frac{1}{2} \rho V^2 L h_A (1 - \lambda)^2 \\ &= \frac{1}{2} \rho V^2 L (h_A - h_T) (1 - \lambda) \\ &= \frac{1}{2} \rho V^2 L \ell_m \sin \alpha (1 - \lambda) \end{aligned}$$

Dans le cas des petits angles,  $\sin \alpha \simeq \alpha$  donc

$$F_x \simeq \frac{1}{2} \rho V^2 L \ell_m \alpha (1 - \lambda)$$

On retrouve les résultats obtenus par la méthode précédente.

## II Mouvement de la planche dans le référentiel terrestre

Q13- Le théorème de la résultante cinétique (système sportif et planche dans le référentiel de la plage galiléen de vitesse  $\vec{V} = -V \vec{u}_x$ ) s'écrit

$$\begin{cases} -m \frac{dV}{dt} = F_x \\ 0 = F_z - mg \end{cases}$$

Dans l'approximation des petits angles, on a  $F_x \simeq F \alpha$  et  $F_z \simeq F$ , soit

$$\boxed{\frac{dV}{dt} = -g \alpha}$$

Q14- On suppose  $h_T$  connu.

(a) Avec

$$1 - \lambda = \frac{h_A - h_T}{h_A} \simeq \frac{\ell_m \alpha}{h_A} \simeq \frac{\ell_m \alpha}{h_T}$$

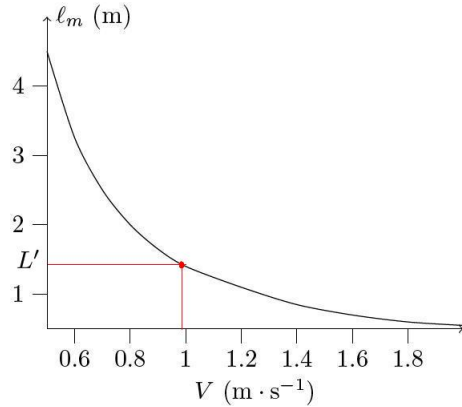
l'équation  $F_z = mg$  devient

$$\frac{1}{2} \rho V^2 L \frac{\ell_m^2 \alpha}{h_T} = mg$$

On en déduit

$$\ell_m = \sqrt{\frac{2mgh_T}{\rho V^2 L \alpha}}$$

- (b) Si l'angle  $\alpha$  est constant, il est nécessaire que la vitesse  $V$  dépasse une valeur minimale pour que  $\ell_m$  soit inférieure à la longueur de la planche.
- (c) La largeur de la planche est  $L = 70$  cm, sa longueur  $L' = 1,40$  m. Le skimboard a été lancé avec une vitesse initiale  $V(t = 0) = 2,7$  m.s<sup>-1</sup> et faisait un angle constant pratiquement égal à  $\alpha = 2,0^\circ$ . On a tracé figure 3 la courbe  $\ell_m(V, \alpha = 2,0^\circ)$  avec les paramètres du problème ( $m = 35$  kg,  $g = 10$  m.s<sup>-2</sup>,  $h_T = 2,0$  cm,  $\rho = 1,0 \times 10^3$  kg.m<sup>-3</sup>).



Graphiquement, on peut estimer la vitesse minimale à  $V_1 = 1$  m.s<sup>-1</sup>. Si l'angle  $\alpha$  est constant, la vitesse varie selon la loi

$$V(t) = V_0 - g\alpha t$$

La vitesse minimale est atteinte à la date  $t_1$  telle que

$$V_1 = V_0 - g\alpha t_1 \text{ soit } t_1 = \frac{V_0 - V_1}{g\alpha}$$

La distance parcourue à la date  $t$  est

$$d(t) = V_0 t - \frac{1}{2} g\alpha t^2$$

soit, à la date  $t_1$

$$\begin{aligned} d_1 &= V_0 t_1 - \frac{1}{2} g\alpha t_1^2 \\ &= \frac{V_0 - V_1}{g\alpha} \left( V_0 - \frac{1}{2} (V_0 - V_1) \right) \\ &= \frac{(V_0 - V_1)(V_0 + V_1)}{2g\alpha} \end{aligned}$$

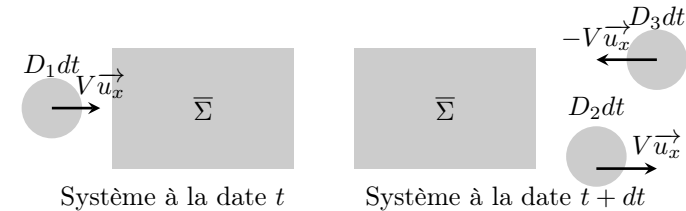
Numériquement<sup>1</sup>, on obtient

$$d_1 = 9,4 \text{ m.}$$

Q15- Le modèle néglige la poussée d'Archimède et la viscosité.

### III Nécessité du jet d'eau

Q16- En choisissant, comme système fermé  $\bar{\Sigma}$ , l'eau contenue dans le volume hachuré figure 4 et celle qui va pénétrer dans ce volume entre les dates  $t$  et  $t + dt$ , le débit massique entrant est  $D_1 = \rho V L (h_T + \delta)$  et les débits massiques sortants sont  $D_2 = \rho V L h_T$  et  $D_3 = \rho V L \delta$ .



on a

$$P_x(\bar{\Sigma}) = P_0 + D_1 dt V \quad \text{à la date } t$$

et

$$P_x(\bar{\Sigma}) = P_0 + (D_2 - D_3) dt V \quad \text{à la date } t + dt$$

soit

$$\left. \frac{dP_x(\bar{\Sigma})}{dt} \right|_R = V(D_2 - D_1 - D_3) = -2\rho L V^2 \delta$$

1. attention à exprimer  $\alpha$  en radians!



Q17- On applique le théorème de la résultante cinétique au système  $\bar{\Sigma}$ ; en projection sur  $\vec{u}_x$ , on obtient, comme la pression est uniforme et égale à  $p_0$  sur les frontières fluides :

$$\left. \frac{dP_x(\bar{\Sigma})}{dt} \right|_R = -F_x$$

soit

$$F_x = 2\rho LV^2\delta$$

et

$$F_z \simeq \frac{F_x}{\alpha} = \frac{2\rho LV^2\delta}{\alpha}$$

$\alpha$  étant petit, on peut ainsi avoir une grande valeur de  $F_z$ .

Q18- En utilisant les données numériques de la question Q14 pour une vitesse  $V = 2 \text{ m.s}^{-1}$ , on obtient

$$\delta \simeq \frac{mg\alpha}{2\rho LV^2} \simeq 2 \text{ mm}$$